

Title	プロピレン重合に及ぼすメソ細孔の影響
Author(s)	高島, 周也
Citation	
Issue Date	2004-03
Type	Thesis or Dissertation
Text version	none
URL	<a href="http://hdl.handle.net/10119/3117">http://hdl.handle.net/10119/3117</a>
Rights	
Description	Supervisor:佐野 庸治, 材料科学研究科, 修士



## 1. 緒言

当研究室では微小空間内でのオレフィン重合挙動について検討しており、1次元メソ細孔を有するメソポーラスシリカ MCM-41 に Post-synthesis により Ti を導入した TiMCM-41 がアルキルアルミニウムとの組み合わせによりプロピレンのアイソ特異性重合能を有していることを見出し既に報告した<sup>1)</sup>。そこで本研究では、1次元および3次元メソ細孔を有する TiMCM-41、TiSBA-15 および TiMCM-48 を用いてプロピレン重合を行い、重合挙動に及ぼすメソ細孔構造の影響について検討した。

## 2. 実験

TiMCM-41、TiMCM-48 および TiSBA-15 は MCM-41(BET 比表面積:950 m<sup>2</sup>/g、細孔径:3.0 nm、細孔容積:0.84 cm<sup>3</sup>/g)、MCM-48(BET 比表面積:1274 m<sup>2</sup>/g、細孔径:2.52 nm、細孔容積:1.29 cm<sup>3</sup>/g) および SBA-15(BET 比表面積:766 m<sup>2</sup>/g、細孔径:6.2 nm、細孔容積:0.73 cm<sup>3</sup>/g) を Ti(OC<sub>4</sub>H<sub>9</sub>)<sub>4</sub> 含有トルエン溶液と加熱還流後、500 °Cで 5 h 焼成する Post-synthesis 法により調製した。プロピレン重合はオートクレーブ内に所定量の Ti 含有メソポーラスシリカと Al(i-C<sub>4</sub>H<sub>9</sub>)<sub>3</sub> 及びプロピレン 7 l を導入し、40 °Cで 2 h 行った。Ti 含有メソポーラスシリカとメソ細孔外ポリマーの分別は沸騰 o-ジクロロベンゼン(ODCB)により行った。細孔内残存ポリマーの取り出しあるアルカリ処理(12M NaOH, 120 °C, 48 h)によりメソ細孔体を溶解することにより行った。抽出残渣および得られたポリマーのキャラクタリゼーションは XRD、DSC、TG、GPC、<sup>13</sup>C NMR、<sup>13</sup>C CP MAS NMR により行った。

## 3. 結果と考察

Table 1 に Ti 含有メソポーラスシリカを主触媒、Al(i-C<sub>4</sub>H<sub>9</sub>)<sub>3</sub> を共触媒に用いてプロピレン重合を行った結果を示す。TiMCM-48 は TiMCM-41、TiSBA-15 と比較して重合活性が高かった。これは TiMCM-48 の細孔構造が3次元であり1次元ヘキサゴナル構造を有する TiMCM-41、TiSBA-15 と比べてプロピレンモノマーの細孔内における活性点への拡散が容易なためと考えられる。ODCB 可溶部のポリプロピレンの M<sub>w</sub> および M<sub>w</sub>/M<sub>n</sub> は TiMCM-41 の方が最も大きい値を示した。T<sub>m</sub> および [mmmm]-ペンタッド分率は TiSBA-15 が最も大きな値を示し、T<sub>m</sub> はタクティシティに依存するということ一致した。

ところで、ODCB 抽出後の TiMCM-41、TiMCM-48 および TiSBA-15 (PP/TiMCM-41、PP/TiMCM-48、PP/

TiSBA-15) の TG 曲線にはそれぞれ約 8~10% の重量減少が観測され、メソ細孔内にポリプロピレンが残存していることが分かった。そこでアルカリ処理によりメソ多孔体を溶解し、メソ細孔内からポリプロピレンを取り出した。その DSC 曲線を Fig. 1 に示す。なお、比較のためアルカリ処理前の PP/Ti 含有メソポーラスシリカ複合体の結果も併せて示す。図から明らかなように複合体の DSC 曲線にはいずれも融点は観測されなかつたがメソ細孔内から取り出したポリプロピレンには  $\alpha$  型 iPP の再結晶化によるものと思われる明瞭な融点が観測された。このことは、メソ細孔内に残存しているポリプロピレンは、メソ細孔の空間的制御により  $\alpha$  型 iPP のラメラ構造の形成が起こりにくく、結晶化が妨げられ、非晶質の状態で存在していることを示唆している。

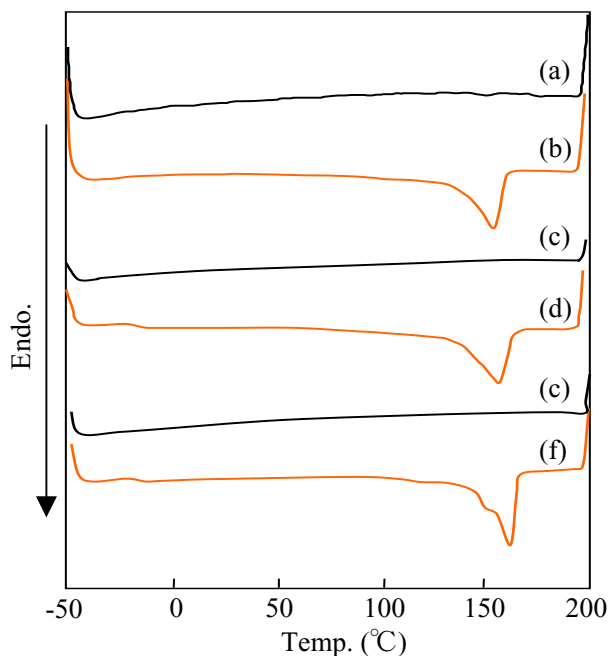


Fig. 1 DSC curves of (a)PP/TiMCM-41, (b)PP in mesopores of TiMCM-41,(c)PP/TiMCM-48, (d) PP in mesopores of TiMCM-48,(e)PP/TiSBA-15 and (f)PP in mesopores of SBA-15.

Table 1 Results of propylene polymerization with Ti-containing mesoporous silica/Al(i-C<sub>4</sub>H<sub>9</sub>)<sub>3</sub> catalyst system.

Catalyst	Activity (g-pp/Ti-mol·h)	ODCB soluble PP				PP in mesopores			
		T <sub>m</sub> (°)	M <sub>w</sub>	M <sub>w</sub> /M <sub>n</sub>	[mmmm] (%)	T <sub>m</sub> (°)	M <sub>w</sub>	M <sub>w</sub> /M <sub>n</sub>	[mmmm] (%)
TiMCM-41 (Si/Ti=16.2)	1097	151.4	252,000	66	32	154.7	84,000	4.3	38
TiMCM-48 (Si/Ti=21.7)	1448	155.5	140,000	15	49	156.2	50,800	16	36
TiSBA-15 (Si/Ti=22.5)	1186	158.0	212,000	23	59	159.9	32,400	11	62

1) Y.Oumi et al., Stud.Surf.Sci.Catal.,146,753 (2003)